论 著

海绵窦海绵状血管 瘤MRI影像学检查的 临床特征

- 1.河南省洛阳市中心医院放射科 (河南 洛阳 471009)
- 2.河南省洛阳市中心医院神经内科 (河南 洛阳 471009)
- 3.河南省郑州市第六人民医院放射 科 (河南 郑州 450053)

索方方1 陆芳芳1 职蕊蕊1 许雷雷2 冈 1 3

【摘要】目的 观察MRI影像学检查在海绵 窦海绵状血管瘤中的临床特征。方法 收 集7例海绵窦海绵状血管瘤患者的临床资 料,回归性分析患者海绵窦区的病灶大 小、形态; MR T₁WI、T₂WI、DWI的信号特 征; 误诊与确诊情况。结果 7例均属海绵 窦单发病灶,4例为左侧,3例为右侧;最 大径线2.5-6.1cm, 平均3.9cm; 7例中有6 例呈横向生长, 病灶均为左右走向, 范围 多横跨脑蝶鞍内外, 呈现哑铃状或葫芦的 高信号影。在MRI影像学图像中,7例病变 的T₁WI序列信号均显著小于脑白质,稍低 于脑灰质; 4例患者的T₁WI散在分布高信 号影,并且T2WI序列整体的高信号显著高 于脑实质信号;增强扫描后,7例病灶均 显著均匀强化, 其中2例病灶出现边缘脑 膜尾征; 1例患者的T₁WI、T₂WI、DWI上均 呈高低混杂信号, 增强扫描后边缘部分片 状强化。7例患者有2例误诊为脑膜瘤,术 后病理检查实为CSHAs, 误诊时间分别为3 周、5周。结论 海绵窦海绵状血管瘤MRI 平扫与增强扫描具有一定的特征性,结合 影像结果有助于提高临床结果的准确性。

【关键词】海绵窦;海绵状血管瘤; MRI; 特征

【中图分类号】R732.2 【文献标识码】A

DOI: 10.3969/j.issn.1672-

5131. 2018. 03. 044

通讯作者:索方方

Clinical Features of MRI Imaging Examination in Cavernous Sinus Cavernous Hemangioma

SUO Fang-fang, LU Fang-fang, ZHI Rui-rui, et al., Department of Radiology, Luoyang Central Hospital, Luoyang 471009, Henan Province, China

[Abstract] Objective To observe the clinical features of MRI imaging examination in cavernous sinus cavernous hemangioma. *Methods* The clinical data of 7 cases of patients with cavernous sinus cavernous hemangioma was collected, and the size and shape of lesions in cavernous sinus area, the signal features of MR, T1WI, T2WI and DWI, misdiagnosis and diagnosis were analyzed retrospectively. Results 7 cases were cavernous sinus single lesion, 4 cases in left side, 3 cases in right side, maximum diameter was 2.5-6.1cm, average was 3.9cm. There were 6 cases in 7 cases showed lateral growth, lesions were all in left and right direction, which were about to range across internal and external sella turcica with dumbbell-shaped and gourd-shaped high signal shadow.In MRI images, the T₁WI sequence signal of 7 lesions was apparently smaller than that of alba, but slightly lower than that of ectocinerea. 4 cases of patients with T₁WI scattered in the high signal shadow, the overall high signal of T₂WI sequence was significantly higher than that of brain parenchyma signal, after enhanced scan, 7 lesions were evidently and evenly enhanced, including 2 cases of marginal dural tail sign, and 1 case showed high-low mixed signal in T₁WI, T₂WI and DWI, and marginal plate reinforcement was emerged after enhanced scan. In 7 cases of patients, 2 cases were misdiagnosed as meningioma while the postoperative pathological examination was CSHAs. The time of misdiagnosis was 3 weeks and 5 weeks respectively. Conclusion MRI scan and enhanced scan of cavernous sinus cavernous hemangioma have certain characteristics each, and the combination with imaging results is helpful for improvement of clinical outcomes accuracy.

[Key words] Cavernous Sinus; Cavernous Hemangioma; MRI; Characteristics

海绵窦(cavrenous sinus, CS)是一对重要的硬脑膜窦,位于 蝶窦与垂体两侧,内部被许多内结缔组织小梁分成众多互相交通的 小腔隙, 血流缓慢, 易因感染、微血管损伤、脑血管畸形等形成栓 塞[1]。海绵窦海绵状血管瘤(cavernous sinus cavernous hemangioma, CSHAs)是其中一种实质性的病变,为众多薄壁血管组 成的异常血管团,占颅内海绵状血管瘤的0.4~2%^[2]。CSHAs发病率虽 低,但因海绵窦结构复杂,内部有诸多血管神经通过,临床症状无典 型特征, 诊疗和鉴别一直较为困难, 极易出现误诊或术中大出血的情 况,从而危及患者生命,严重影响临床疗效[3]。随着影像学技术的不 断进步和细化,关于CSHAs是一种缺乏动脉成分的血管畸形的研究观点 越发普遍,而CSHAs的诊疗水平明显提高,也在不断促进其临床疗效。 基于此,为进一步明确CSHAs的影像学特征,本课题对近年来CSHAs患 者临床资料进行研究分析,现报道如下。

资料和方法

1.1 一般资料 根据纳入标准和排除标准,收集2013年6月~2017 年5月本院诊疗的7例海绵窦海绵状血管瘤患者的临床资料,其中男3 例, 女4例; 年龄32~60岁, 平均(43.1±6.3)岁; 病程3个月~7年,

平均(2.8+0.5)年。(1)纳入标 准:①年龄30~70岁,自愿签署 知情同意书。②经CT、X先平片、 既往MRI等检查,确诊存在海绵 状异常血管团。③因癫痫且面部 阵发性麻木; 间断性头痛半年以 上,突然加重;左右眼不同程度 视力减退, 伴眼睑下垂: 发性头 痛: 颅内出血史等就诊者。(2)排 除标准: ①装有人工心脏起搏器 或颅内、眼球内等身体其他部位 有金属异物者。②存在动脉手术 史、心脏手术史或X线平片、CT 片、既往MRI片等资料者。③重症 昏迷、心率失常、呼吸困难、二 便失禁、妊娠期等人群。

1.2 **影像学检查方法** 使用 GE Signo 1.5 T、HDXT 3.0 T扫 描仪进行MRI平行扫描,8通道头 线圈。横轴面 T_1 WI采取液体反转恢复序列(TR 1700~2000ms,TI 750 ms,TE 15~20ms)、横轴面自旋回波 T_2 WI(TR 3000~3400ms,TE 90~100ms)、横轴面DWI为单次激发自旋回波—回波平面成像(SE-PI)序列(b=0,1000s/mm²),向全方向扩散。

1.3 评价方法 分析患者海绵窦区的病灶大小、形态; MR T_1WI 、 T_2WI 、DWI的信号特征; 误诊与确诊情况。

2 结 果

2.1 病灶大小、形态 7例 均属海绵窦单发病灶,4例为 左侧,3例为右侧;最大径线 2.5~6.1cm,平均3.9cm;7例中 有6例呈横向生长,病灶均为左右 走向,范围多横跨单侧脑蝶鞍内 外,呈现哑铃状或葫芦的高信号 影。

2.2 MR T1WI、T2WI、DWI的 信号特征 在MRI影像学图像中,

7例病变的 T_1WI 序列信号均显著小于脑白质,稍低于脑灰质(图1);4例患者的 T_1WI 散在分布高信号影(图2),其 T_2WI 序列整体的高信号显著高于脑实质信号(图3);增强扫描后,7例病灶均显著均匀强化,其中2例病灶疑有钙化点(图4-6);1例患者的 T_1WI 、 T_2WI 、DWI上均呈高低混杂信号,增强扫描后边缘部分片状强化(图7-8)。

2.3 误诊与确诊情况 7例患者进行术前检查时,有2例MRI增强扫描后T1等信号或稍低信号及钙化,误诊为脑膜瘤,均采取外科手术治疗,术后病理检查实为CSHAs,误诊时间分别为3周、5周;余下5例术前经MRI等影像学检查,均确诊为CSHAs(图9)。

3 讨 论

CSHAs好发于30~40岁人群,无显著性别差异,病情进展缓慢,随着病程延长,可出现癫痫、颅内出血、局灶性神经功能障碍、头痛等症状,但由于临床上发生于海绵窦的垂体腺瘤、临膜瘤等占位性病变与CSHAs影像学图像相似,易出现误诊情况,理想^[5]。脑膜瘤的影像学图像至弧立的等密度或高密度占位病变、边缘清晰,瘤内可见钙化,增强扫描后可见脑膜尾征^[6]。故而,CSHAs检查出现瘤内钙化时,最易误诊为脑膜瘤。MRI是近年来广泛

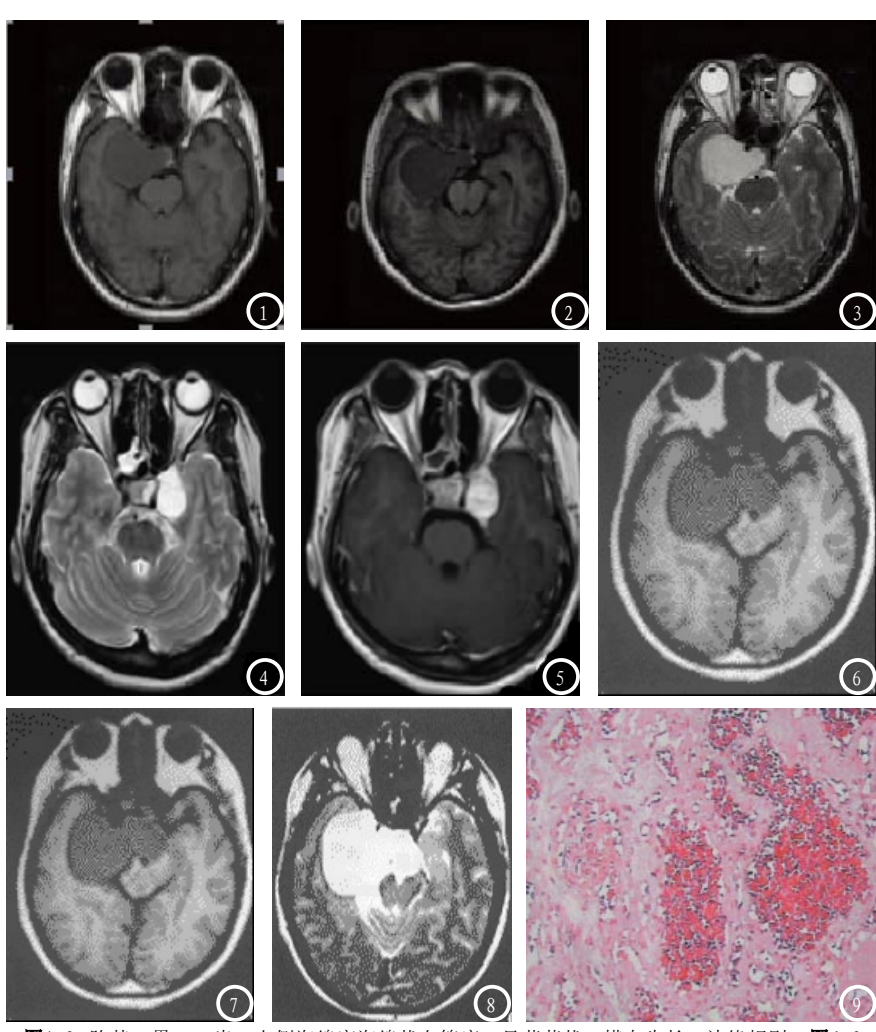


图1-3 陈某,男,47岁,右侧海绵窦海绵状血管瘤,呈葫芦状,横向生长,边缘规则。图4-6 李某,女,46岁,海绵窦海绵状血管瘤。图4 MRI T,WI上病灶呈稍低信号;图5 MRI轴位T₂WI上病灶呈明显高信号;图6 MRI增强扫描后,瘤内疑有钙化点。图7-8 李某,女51岁,右侧海绵窦海绵状血管瘤,呈哑铃状,横向生长。图9 病理检查时海绵窦海绵状血管瘤(HE,×400倍)。

用于临床的数字成像技术,具有较高的特异性和敏感性,适用于全身各系统不同疾病的检查,起是对脑肿瘤、脑炎性病变、脑白质病变等的诊断,比CT更为敏感,且定位精准,在不使用血管造影剂情况下,就可清晰地显示血管结构^[7]。但MRI的空间分辨率减低,带有心脏起搏器或金属不能充分显示钙化灶与骨骼病灶,对部分疾病的成像结果还需结合CT进行分析。这考虑是本研究中,出现2例CSHAs误诊为脑膜瘤的原因。

3.1 CSHAs的MRI特征 CSHAs 由窦状腔隙、结缔组织间隔、增 生的胶质组织构成, 出现亚临床 出血时,行MRI检查,可见所有 序列均呈高信号表现, 病灶内长 T1、短T2信号带所分割形成的爆 米花或网状混杂信号团,以T2低 信号带为代表的周围环[8]。根据 国内外研究报道,在MRI图像上, CSHAs病灶常为单侧横跨蝶鞍牛长 的"哑铃"或"葫芦"状肿块; 病灶主体一般位于病变的海绵窦 旁, 对蝶鞍区骨质多为挤压、吸 收性病理改变;病灶边缘一般较 为光滑清晰,与相邻脑实质间常 有脑脊液间隙存在[9]。7例研究对 象中,6例病灶呈"哑铃"或"葫 芦"状的高信号影,病灶最大径 线2.5~6.1cm, 平均3.9cm, 且均 为左右走向,可见CSHAs病灶形态 具有一定的典型性。同时,海绵 窦相邻组织受到病灶挤压、吸收 时,患者的MRI图像可见病灶围绕 颈内动脉海绵窦段生长、少部分 患者会呈现骨质增生硬化。但关 于受病灶包绕的颈内动脉管腔是 否会发生狭窄、邻近脑实质受压 时是否会呈水肿或低密度信号, 目前尚无明确报道。

3.2 CSHAs的诊断及鉴别 行CSHAs术前诊断,需结合病史、 现阶段体质、CT片或既往MRI片等 影像学简检查结果综合考虑,除 CSHAs之外,海绵窦常见病变有 脑膜瘤、垂体腺瘤、神经鞘瘤: 罕见占位病变见于平滑肌瘤、胶 质瘤、炎性病变等,目前对这些 基本的鉴别主要依靠影像学检 查[10]。海绵窦脑膜瘤在MRI在MRI 上多成椭圆、圆形,与CSHAs的 葫芦或哑铃状不同; 在MRIT₂WI上 呈等信号或稍高信号,而CSHAs 的MRIT₂WI均呈现显著高信号。同 时,由于病灶对鞍区骨质的破坏 程度不同, CSHAs的MRI 图像钙化 点较海绵窦脑膜瘤的MRI图像钙 化点更少[11]。但在临床诊疗中, 还需联系其他病理特征对病灶性 质进行判断, 尽可能的降低误诊

与CSHAs不同的是,垂体腺瘤 是一种侵袭性肿瘤,瘤体源于鞍 区,而海绵窦与鞍区邻近,瘤体 向鞍上部位生长时极易侵犯海绵 窦,从而引起周围组织病变[12]。 在CT的检查中,垂体腺瘤的T₁WI、 T₂WI即可呈等信号,也可呈稍低或 稍高信号,扫描增强后可呈均匀 增强,与CSHAs的图像变化极为相 似,临床上常难以区分。但在MRI 像上,垂体腺瘤可见内部囊变、 出血、坏死, CSHAs则极少有坏死 情况: 其次, CSHAs压迫垂体时, 影像学检查可见垂体增生肥大, CSHAs病灶NAA峰、Cho峰和Cr峰消 失等[13]。因此,通过仔细检查, 是可以明确诊断进病变类型的。

根据现阶段的研究结果,大部分神经鞘瘤起源于三叉神经起源于半月节,生长区域主要为海绵窦外侧壁中部,极少向鞍区生长,MRI或CT图像均可见卵圆孔、圆孔显著增大及骨质破坏;同

时,MRI扫描增强后,神经鞘瘤病 灶不会呈均匀强化的情况,囊性 病变后矢状位可呈现"哑铃状" 跨中后颅窝^[14]。因此,神经鞘瘤 与CSHAs的临床诊断和鉴别,相对 海绵窦脑膜瘤、垂体腺瘤更为简 单。此外,发生在海绵窦周围的 浸润癌多为邻近组织转移而来, 进行鉴别诊断时,还需注意耳、 鼻、喉等部位是否存在原发病 灶,或者是脑实质胶质组织的增 生。

3.3 CSHAs的临床表现 CSHAs瘤体较小时,多无明显症 状, 当病灶生长到一定程度并且 压迫海绵窦区,对邻近组织产生 影响时,患者临床症状一般表现 为头痛、颅内少量复发出血、面 部麻木、眼球运动障碍,严重者 可因眼轮匝肌功能受损而出现眼 睑下垂; 当病灶向蝶鞍内生长, 刺激到垂体,可导致女性患者月 经紊乱、闭经等内分泌激素紊乱 症状, 引起男性患者癫痫发生率 增高等[15]。但此类临床体征症状 并不典型,许多海绵窦区占位病 变或其他脑血管、脑神经病变也 有类似表现。因此,目前CSHAs 术前诊断仍需综合影像学检查结 果,尽可能的减少误诊率。

参考文献

- [1] 晋涛, 王鑫, 王恩敏, 等. MRI评估海 绵窦海绵状血管瘤射波刀疗效[J]. 中国医学计算机成像杂志, 2013, 19(4): 372-375.
- [2] 周玮, 祝跃明, 苏忠周, 等. 海绵窦海绵状血管瘤的磁共振成像诊断及显微外科手术治疗[J]. 中国医学科学院学报, 2013, 35(6): 677-682.
- [3] 卢绍辉, 陈惠, 吴迪, 等. 海绵窦海绵状血管瘤 CT、MR I 表现分析 [J]. 临床放射学杂志, 2015, 34(10): 1691-1694.

(下转第 150 页)